

پایش خشکسالی در مشهد
- با استفاده از شاخص خشکسالی پالمر -

چکیده

خشکسالی پدیده‌ای اقلیمی بوده و به عنوان بخشی از اقلیم یک منطقه محسوب می‌شود. این پدیده دارای خصوصیاتی است، که آن را از سایر بلایای طبیعی جدا می‌کند. تحقیقات انجام شده نشان می‌دهد که در بین حوادث طبیعی، خسارات ناشی از خشکسالی بیشترین مقدار را شامل است. لذا پایش گسترده آن و ایجاد یک نظام هشدار و پیش‌آگاهی در مناطق مستعد خشکسالی، امری اجتناب ناپذیر است. یکی از ابزارهای اصلی پایش خشکسالی، استفاده از شاخص‌های خشکسالی می‌باشد. نوشتار حاضر، شاخص شدت خشکسالی پالمر را به عنوان الگوی معترض و کاربردی، مورد استفاده قرار داده است. پارامترهای اصلی ورودی، شامل: بارندگی (P)، درجه حرارت (T) و مقدار آب قابل دسترس (AWC) است. در هر دوره، تغیر-تعریق پتانسیل با استفاده از اطلاعات بدست آمده بر اساس الگوی دو لایه‌ای ذخیره‌ی رطوبت خاک محاسبه می‌شوند. در پایان نتایج خروجی الگو، که شاخص انحراف رطوبت ماهانه (Z) و شاخص شدت خشکسالی (X) می‌باشد، ارائه می‌شود. در این مقاله با استفاده از نرم افزاری که جهت محاسبه شاخص شدت خشکسالی پالمر طراحی شده، این شاخص برای ایستگاه سینوپتیک مشهد طی دوره‌ی آماری (۱۹۷۱-۲۰۰۳ میلادی) محاسبه و ارائه گردیده است.

واژه‌های کلیدی: خشکسالی، شاخص خشکسالی، شاخص شدت خشکسالی پالمر، درجه حرارت، بارندگی.

۱. درآمد:

خشکسالی بلیه‌ای است که از نبود آب (بارندگی) ناشی می‌شود و نبود آن به معنای نابودی حیات است (آسیابی، مهدی، ۱۳۸۳: ۷۱). دانش بشری هنوز به آن اندازه توسعه نیافته که راهکارهای مناسبی جهت رفع

کمبود بارندگی یا بدبود و از این رو پیش آگاهی و پیش‌بینی‌های دوره‌های خشک مهمنتین رهکار در جلوگیری از بروز خسارات این پدیده‌ی زیان‌بخش است. هر چند این پیش‌بینی‌ها دقیق‌تر و فواصل زمانی آن طولانی‌تر باشد، ابعاد بحران محدود‌تر شده و برآورد و جبران خسارات ساده‌تر می‌شود. خشکسالی به عنوان یکی از پیچیده‌ترین بلایای طبیعی، پدیده‌ای خزنده به شمار می‌رود (آسیابی، مهدی، ۱۳۸۴: ۲۰). تداوم وقوع آن طولانی بوده و اثرات ناشی از آن حالت غیرساختاری داشته و در نتیجه خسارت‌های ناشی از این پدیده در بخش‌های مختلف، مانند کشاورزی، اجتماعی و غیره، به صورت تدریجی ظاهر می‌شود. نکته‌ی دارای اهمیت این است که خسارات و اثرات ناشی از خشکسالی برابر یا بیشتر از خسارات ناشی از سایر بلایای طبیعی مثل سیل و زلزله می‌باشد (ویلهایت، ۲۰۰۰: ۲۵۰). همچنین به دلیل طبیعت و ذات پنهانی این پدیده، تعیین زمان آغاز، گسترش و پایان آن بسیار دشوار است. این مسئله اهمیت پایش گسترد و یا ایجاد یک نظام هشدار و پیش آگاهی را در مناطق مستعد خشکسالی نشان می‌دهد. در این راستا استفاده از داده‌های ماهواره‌ای به منظور انجام پایش خشکسالی، همچنین کاربرد شاخص‌های خشکسالی در خلاصه‌سازی بسیاری از پارامترهای مؤثر در خشکسالی در سطوح مختلف برای برنامه‌ریزان مفید است. با استفاده از شاخص‌های خشکسالی می‌توان شدت و وسعت خشکسالی را کمی نموده و آن را به صورت دوره‌ای ارزشیابی کرد (آسیابی، مهدی، ۱۳۸۵: ۲۹).

به طور کلی، شاخص‌های متعددی برای ارزشیابی خشکسالی به کار برده می‌شوند، که از آن جمله می‌توان به شاخص‌های زیر اشاره نمود:

- شاخص درصد نرمال^۱ (PN)؛
- شاخص استاندارد بارش^۲ (SPI)؛
- شاخص شدت خشکسالی پالمر^۳ (PDSI)؛
- شاخص دهک‌ها^۴؛
- شاخص خشکسالی بالم و مولی^۵ (BMDI)؛
- شاخص خشکسالی احیابی^۶ (RDI)؛

1. Percent of Normal
 2. Standardized Precipitation Index
 3. Palmer Drought Severity Index
 4. Deciles
 5. Bahlme and Mooley Drought Index

شاخص اندیس گیاهی^۳ (NDVI)؛

شاخص بارش مؤثر^۳ (EPI).

هریک از این شاخص‌ها فقط برای کاربردهای خاص در منطقه‌ی خاصی معتبر است، که علت آن متغیر بودن شرایط هواشناختی مؤثر بر ایجاد پدیده‌ی خشکسالی از نقطه‌ای به نقطه‌ای دیگر است (جوانمرد، ۱۳۸۰: ۱۰). ولی برای مناطقی که دارای شرایط اقلیمی یکسانی هستند، می‌توان از شاخص‌های خشکسالی یکسانی استفاده نمود. در خصوص مقایسه‌ی شاخص SPI و PDSI و همچنین مزایا و محدودیت‌های آن می‌توان به موارد زیر اشاره نمود: نمایه‌ی SPI فقط بر اساس بارندگی محاسبه می‌شود، در حالی که محاسبه‌ی PDSI، مستلزم آن است که اصطلاح را در آن تعریف کنیم. همچنین نمایه‌ی SPI برخلاف PDSI، به شرایط رطوبت خاک بستگی ندارد، بنابراین می‌توان از آن برای ماههای زمستان نیز استفاده کرد. همچنین از تپوگرافی نیز تأثیر نمی‌پذیرد. از محدودیت‌های نمایه‌ی SPI می‌توان به موارد زیر اشاره کرد:

۱. صحّت و اعتبار SPI، به اندازه‌ی صحّت و اعتبار داده‌های مورد استفاده است؛

۲. قبل از استفاده از SPI برای یک ایستگاه، اطلاعاتی درباره‌ی اقلیم ناحیه موردنیاز است (ویلهایت، ۲۰۰۰: ۲۵۰).

اما نمایه‌ی پالمر یکی از روش‌های بسیار مؤثر در تعیین خشکسالی طولانی مدت (چندماهه) می‌باشد، ولی به عنوان پیش‌بینی کوتاه‌مدت (چند هفته) جواب خوبی نمی‌دهد.

یکی از مهمترین امتیازات نمایه‌ی پالمر آن است که نسبت به شرایط اقلیم محلی استاندارد است، بنابراین می‌تواند در هر بخش از کشور جهت نشان دادن خشکسالی نسبی یا ترسالی مورد استفاده قرار گیرد (آسیابی، ۱۳۸۵: ۵۰).

-
1. Reclamation Drought Index
 2. Normalized Drought Vegetation Index
 3. Effective Precipitation Index

۲. شاخص شدت خشکسالی پالمر

پالمر^۱ شاخص خشکسالی خود را، که ترکیبی از بارندگی رخ داده، ذخیره‌ی رطوبتی و نیاز رطوبتی است، براساس محاسبه‌ی بیلان آبی معرفی نمود. او از یک الگوی دولایه‌ای برای محاسبات رطوبت خاک استفاده کرد و فرضیه‌ی ویژه‌ای در ارتباط با ظرفیت پذیرش و انتقال رطوبت به لایه‌های مختلف خاک ارائه داد. پالمر شروع و پایان دوره‌ی خشکسالی و ترسالی بر حسب احتمال زمان شروع و پایان آن را بیان کرد. یک دوره‌ی خشکسالی و یا ترسالی وقتی به طور قطع اتفاق می‌افتد که این احتمال به ۱۰۰٪ رسیده یا از آن فراتر رود. اما دوره‌ی خشکسالی یا ترسالی وقتی ماه اول خود را به اتمام می‌رساند که این احتمال از صفر بزرگ‌بوده و همچنان بالای صفر بماند تا به ۱۰۰٪ برسد. این شاخص خشکسالی هواشناسی به نام PDSI یا شاخص شدت خشکسالی پالمر نامیده می‌شود (پالمر، ۱۹۶۵: ۵۸). این فرآیند برگشتی^۲ پایان دوره‌ی خشکسالی یا ترسالی نمی‌تواند به نحو شایسته‌ای برای محاسبات بهنگام شاخص شدت خشکسالی پالمر مورد استفاده قرار گیرد، زیرا مشخص نیست که در چند ماه آینده شاهد آغاز یک دوره‌ی خشکسالی هستیم یا ترسالی؟ و یا این که با توقف دوره‌ی خشکسالی جاری یا ترسالی روپروره‌یست. این الگوی اندیس (X_۱) را برای خشکسالی جاری (رخ داده) و اندیس (X_۳) را برای دوره ترسالی در حال شروع محاسبه می‌کند. محاسبات مشابهی را نیز برای ترسالی جاری (X_۲) و خشکسالی در حال شروع (X_۴) انجام می‌دهد. براساس احتمال این که کدامیک از دوره‌های خشکسالی یا ترسالی در حال اتمام باشد، الگوی X_۱، X_۲ یا X_۳ را برای محاسبه‌ی PDSI انتخاب می‌کند. سرویس ملی هواشناسی آمریکا^۳ (NWS) این الگو را با یک الگوی تعییم یافته‌ی PDSI در سال ۱۹۹۰ میلادی تلفیق نمود. این الگوی تعییم یافته اجازه می‌دهد تا PDSI از طریق جمع احتمال وقوع خشکسالی و ترسالی (P و P - ۱۰۰)، که در آن P احتمال وقوع پدیده‌ای است که دوره آن پایان می‌یابد، به دست آید. از همان ابتدا شاخص پالمر به عنوان «یک روش مناسب برای تلفیق بارندگی و دما به عنوان یک متغیر پیش‌بینی» شناخته شد. شاخص پالمر به طور گسترده در ایالات متحده‌ی آمریکا مورد استفاده قرار گرفت و پس از تعییم آن به سایر مناطق جهان، نتایج آن با هم تلفیق گردید (گوگان، ۱۹۹۵: ۶۸-۶۵۵).

-
1. Palmer
 2. Back-stepping
 3. Nation Weather Service

در این مقاله پس از معرفی شاخص شدت خشکسالی پالمر (PDSI) به عنوان الگوی معتبر و کاربردی، به منظور کاربرد شاخص شدت خشکسالی پالمر در ارزشیابی خشکسالی‌های خراسان در پژوهشکدهی اقیم‌شناسی نرم‌افزار خاصی طراحی گردیده است، که ضمن بیان عوامل مؤثر در محاسبات و روابط ریاضی حاکم بر آنها، طرح وارهی محاسبه‌ی این شاخص نیز ارائه می‌شود. مفاهیم اساسی و روش محاسبه‌ی شاخص شدت خشکسالی پالمر به همراه نمونه‌ی محاسبات انجام شده برای مشهد طی دوره‌ی آماری ۱۹۷۱-۲۰۰۳ میلادی بیان می‌شود.

۳. مواد و روش‌ها

در این مطالعه از داده‌های ایستگاه سینوپتیک مشهد استفاده شده است. شاخص PDSI، بر اساس داده‌های بارش و دما و نیز مقادیر رطوبت در دسترس خاک (AWC)^۱ محاسبه می‌شود. از میان ورودی‌های محاسباتی تمامی کمیت‌های اصلی معادله‌ی بیلان آبی، نظری تغییر-تعرق، تغذیه‌ی خاک، رواناب و تلفات رطوبتی از لایه‌ی سطحی قابل تعیین و محاسبه است (میلر، ۱۹۹۴: ۴۴). البته اثرات فعالیت‌های انسانی بر این موازنہ (بیلان) نظری آبیاری - در نظر گرفته نشده است. PDSI صرفاً شاخص هواشناسی نیست، بلکه بیشتر به آن شاخص خشکسالی هیدرولوژیکی پالمر (PHDI)^۲ اگفته می‌شود. چرا که مبنای آن وضعیت رطوبتی فعلی (بارش)، جریانات خروجی و ذخیره‌ی رطوبت بوده و روندهای درازمدت را لاحاظ می‌نماید (گاتمن، ۱۹۹۱: ۶۷). پالمر شاخص PDSI را جهت ردیابی و نشان‌دادن تأثیر دوره‌های مداوم خشکسالی (یا دوره‌های ترسالی) در شاخص‌های خشکسالی معرفی نمود. دلیل و انگیزه‌ی او برای تدوین شاخص بالا بین بود که وجود یک ماه مرتبط در میانه‌ی خشکسالی درازمدت اثر مهمی بر جای نمی‌گذارد، به عبارت دیگر یک سری ماهها با بارندگی نزدیک به نرمال پس از یک خشکسالی جدی به معنای پایان خشکسالی نیست. جدول (۱) درجه‌بندی شاخص شدت خشکسالی پالمر را نشان می‌دهد که از شرایط بسیار زیادتر تا بسیار زیاد خشک را شامل می‌شود. عوامل مؤثر در محاسبه و ارزشیابی و طرح وارهی شاخص شدت خشکسالی پالمر به ترتیب در جدول (۲) و شکل (۱) ارائه شده است.

1. Available Water Content

2. Palmer Hydrological Drought Index

جدول (۱) طبقه‌بندی خشکسالی بر اساس شاخص PDSI

| ارزش PDSI | درجه‌ی خشکسالی |
|---------------|--------------------|
| ۴ یا بیشتر | ترسالی بسیار شدید |
| ۳/۹۹ تا ۳ | بسیار مرطوب |
| ۲/۹۹ تا ۲ | ترسالی متوسط |
| ۱/۹۹ تا ۱ | تقریباً مرطوب |
| ۰/۹۹ تا ۰/۵ | تا حدی مرطوب |
| -۰/۴۹ تا ۰/۴۹ | تقریباً نرمال |
| -۰/۹۹ تا -۰/۵ | تا حدی خشک |
| -۱/۹۹ تا -۱ | خشکسالی خفیف |
| -۲/۹۹ تا -۲ | خشکسالی متوسط |
| -۳/۹۹ تا -۳ | خشکسالی شدید |
| -۴ یا کمتر | خشکسالی بسیار شدید |

جدول (۲) تجزیه و تحلیل عوامل مؤثر در محاسبه و ارزشیابی شاخص شدت خشکسالی پالمر

| پارامتر | محاسبه‌ی پارامتر | توضیح |
|--------------|--------------------|---|
| P | Precip. (in.) | بارندگی ماهانه (in.) |
| T | Temp. (°F) | دماي متوسط ماهانه (F) |
| PE | Pot. Evapotr. | تبخر و تعرق باتاسیل ماهانه (روش تورنت وايت) |
| P-PE | | تبخر و تعرق-بارندگی |
| ΔS_s | Sfc. moist chg. | تغیرات رطوبت خاک در سطح |
| S_s | Sfc. Moist | مقدار رطوبت موجود در لایه‌ی سطحی خاک در پایان ماه (in.) |
| ΔS_u | Subsil moist. chg. | تغیرات رطوبت خاک زیرین |
| S_u | Subsoil moist. | مقدار رطوبت موجود در خاک زیرین در پایان ماه (in) |

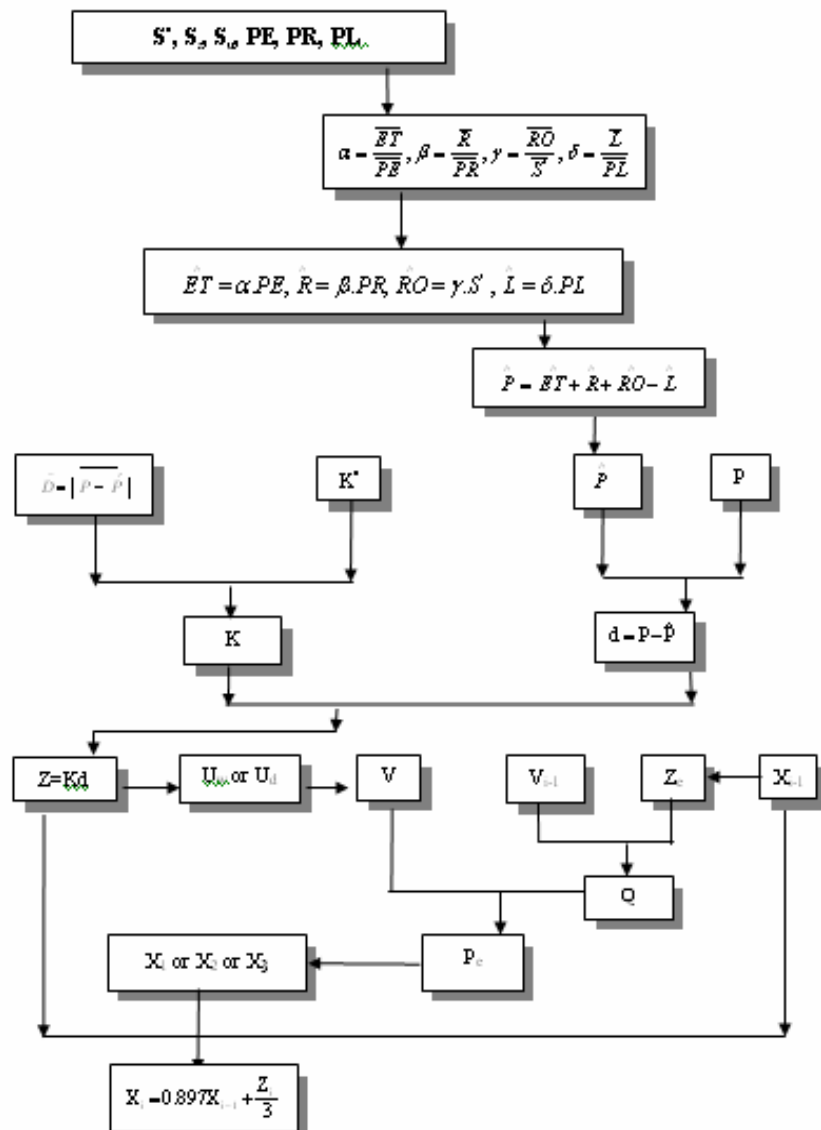
| پارامتر | محاسبه پارامتر | توضیح |
|------------|---|--|
| S | Initial moist | رطوبت اولیه خاک |
| PR | Pot. recharge | پتانسیل تجدید رطوبت؛ مقدار اینچ رطوبت مورد نیاز برای رسیدن به ظرفیت مزروعه در ابتدای ماه |
| R | Moist. recharge | ذخیره‌ی مجدد ماهانه، رطوبت دریافتی خالص در لایه‌ی زیرین و سطحی خاک |
| L | Moist. loss | اتلاف رطوبت ماهانه از لایه‌ی زیرین و سطحی خاک |
| ET | Evapotr. | تبخیر و تعرق حقیقی ماهانه |
| RO | Runoff | رواناب ماهانه |
| PL | Pot. Moist loss | پتانسیل کاهش آب ماهانه، مقدار اینچ رطوبت مورد نیاز برای رسیدن به نقطه‌ی پژمردگی مزروعه در ابتدای ماه |
| α | \bar{ET} / \bar{PE} | ضریب تجدید رطوبت (برای دوره‌ی آماری ۳۰ ساله) |
| β | \bar{R} / \bar{PR} | ضریب تجدید رطوبت (برای دوره‌ی آماری ۳۰ ساله) |
| γ | $\bar{RO} / \bar{S'}$ | ضریب رواناب (برای دوره‌ی آماری ۳۰ ساله) |
| δ | \bar{L} / \bar{PL} | ضریب کاهش رطوبت (برای دوره‌ی آماری ۳۰ ساله) |
| \hat{ET} | $\alpha . PE$ | تبخیر و تعرق برآورده ماهانه |
| \hat{R} | $\beta . PR$ | تجددی رطوبت خاک برآورده ماهانه |
| \hat{RO} | $\gamma S'$ | رواناب برآورده ماهانه |
| \hat{L} | δPL | اتلاف رطوبت خاک برآورده ماهانه |
| \hat{P} | $\hat{ET} + \hat{R} + \hat{RO} - \hat{L}$ | بارندگی ماهانه برآورده |
| D | $P - \hat{P}$ | انحراف ماهانه در یک ماه معین |
| K | Weight factor | عامل توزینی |
| Z | Kd | نمایه‌ی انحراف رطوبت |
| U_w | $Z+0.15$ | مقدار تری مؤثر در پایان دوره‌ی خشک |
| U_d | $Z-0.15$ | مقدار خشکی مؤثر در پایان دوره‌ی مرطوب |
| V | ΣU | مقادیر تجمیعی U_w یا خشکی U_d |
| Z_e | $-2.691 X_{i1} \pm 1.50$ | نیاز غیر معمول به رطوبت برای پایان دادن یک پدیده در یک ماه |
| Q | $Z_e + V_{i1}$ | |
| P_e | V/Q | |
| $Z/3$ | | |
| X | Final index | شاخص شدت خشکسالی (یا ترسالی) بدون علامت می‌باشد |

PDSI روش محاسبه‌ی

داده‌های اندازه‌گیری شده بارش و دمای هوای صورت ماهانه ورودی اصلی این برنامه است. طراحی این نرم‌افزار به گونه‌ای است که اطلاعات ورودی سازگار با سیستم متداول کشور باشد و تبدیل واحدها در طول اجرای برنامه به صورت خودکار انجام شود. عرض جغرافیایی محل (۴) و ظرفیت قبول آب خاک (AWC) منطقه‌ی مورد مطالعه از دیگر ورودی‌های این برنامه است. همان‌گونه که در جدول (۳) مشاهده می‌شود، ورود اطلاعات به سیستم در همان چهار ستون اولیه انجام می‌شود. تعیین وضعیت رطوبت خاک، که مبنای محاسبات بعدی در تعیین PDSI است، با استفاده از معادله‌ی بیلان آبی تورنتویت انجام می‌شود. لذا پس از ورود اطلاعات بارندگی، دما، عرض جغرافیایی و ظرفیت قبول آب خاک (جدول ۳) محاسبات با تعیین تغییر - تعریق ماهانه به روش تورنتویت آغاز می‌شود. (تورنتویت، ۱۹۵۵: ۳۴۶).

جدول (۳) ورود اطلاعات و محاسبه‌ی تغییر - تعریق به منظور محاسبات PDSI

| YEAR | Month | P (mm) | T (c) | Lat | i | Alfa | ETP(mm) |
|------|-------|--------|-------|------|-------|------|---------|
| | Jan | ۳۰/۱ | ۳/۷ | ۳۶/۵ | ۰/۶۲ | ۱/۷ | ۳۶ |
| | Feb | ۳۰/۷ | ۶/۲ | ۳۶/۵ | ۱/۳۸ | ۱/۷ | ۹/۱ |
| | Mar | ۳۵/۷ | ۹/۴ | ۳۶/۵ | ۲/۵۸ | ۱/۷ | ۲۳/۰ |
| | Apr | ۶۱/۴ | ۱۵/۱ | ۳۶/۵ | ۵/۳۰ | ۱/۷ | ۵۵/۷ |
| | May | ۴۰/۲ | ۱۸/۲ | ۳۶/۵ | ۷/۰۴ | ۱/۷ | ۸۶/۰ |
| | Jun | ۰/۲ | ۲۴/۱ | ۳۶/۵ | ۱۰/۷۸ | ۱/۷ | ۱۳۹/۳ |
| 2003 | Jul | ۰ | ۲۸/۵ | ۳۶/۵ | ۱۳/۹۱ | ۱/۷ | ۱۸۸/۳ |
| | Aug | ۰ | ۲۶/۲ | ۳۶/۵ | ۱۲/۲۴ | ۱/۷ | ۱۵۳/۱ |
| | Sep | ۰ | ۲۱/۴ | ۳۶/۵ | ۹/۰۴ | ۱/۷ | ۹۷/۴ |
| | Oct | ۱/۴ | ۱۸/۳ | ۳۶/۵ | ۷/۱۰ | ۱/۷ | ۷۰/۶ |
| | Nov | ۴/۷ | ۸/۸ | ۳۶/۵ | ۲/۳۵ | ۱/۶ | ۱۸/۹ |
| | Dec | ۱۴/۷ | ۴/۳ | ۳۶/۵ | ۰/۷۸ | ۱/۷ | ۵/۴ |



شکل(۱) طرح وارهی محاسبه شاخص خشکسالی پالمر

پارامترهای جدول شماره (۳) به شرح زیر است:

P: بارندگی به میلی‌متر.

T: درجه‌ی حرارت به سانتی‌گراد.

Lat: عرض جغرافیایی.

I: شاخص حرارت ماهانه بوده، که از رابطه‌ی زیر برای هر ماه قابل محاسبه است.

$$(1) I = (T_i / 5)^{1.514}$$

برای محاسبه این پارامتر از رابطه‌ی زیر استفاده می‌شود:

$$(2) ETP = 1.6 (10T_i/I)\alpha$$

در این رابطه

T: درجه‌ی حرارت،

I: شاخص حرارتی سالانه که مجموع شاخص‌های حرارتی ماهانه بوده و از رابطه‌ی زیر بدست می‌آید.

$$(3) I = \sum_{i=1}^{12} (T_i / 5)^{1.514} = \sum_{i=1}^{12} i$$

از رابطه زیر محاسبه می‌شود:

$$(4) \alpha = 0.000000675 I^3 - 0.0000771 I^2 + 0.01792 I + 0.49239$$

پس از برآورد پتانسیل تبخیر - تعرق ماهانه، تبدیل داده‌های درجه‌ی حرارت از مقیاس سانتی‌گراد به فارنهایت (T_f) و محاسبه‌ی میانگین ماهانه‌ی دما ($Avg T$) در جدول (۴) ادامه می‌باید. آن‌گاه داده‌های بارش ماهانه به اینچ (Pin) تبدیل شده و میانگین ماهانه‌ی این پارامتر نیز محاسبه می‌شود. مشابه این عملیات در مورد تبخیر - تعرق پتانسیل هم اجرا می‌شود. در ستون بعدی از جدول (۴) تفاوت بارندگی و تبخیر - تعرق پتانسیل ماهانه (P-PE) محاسبه می‌شود که مبنای محاسبه‌ی بیلان آبی و برآورد مقدار و تغییرات محتوی آب است، (ΔS_s) و در آخرین ستون جدول (۴) مقدار کل رطوبت موجود خاک (S) در انتهای ماه محاسبه می‌شود.

جدول (۴) محاسبه و تعیین یلان آبی و رطوبت خاک

| YEAR | Month | T (f) | Avg T | P(in) | Avg p | PE | AvgPE | P -PE | ΔSs | ΔSu | Ss | Su | S |
|------|-------|-------|-------|-------|-------|------|-------|-------|-------|-------|------|------|------|
| | Jan | 38.57 | 34.6 | 1.19 | 1.5 | 0.14 | 0.1 | 1.04 | 0.27 | 0.77 | 1.00 | 0.81 | 1.81 |
| | Feb | 43.16 | 36.4 | 1.21 | 1.7 | 0.36 | 0.2 | 0.85 | 0.00 | 0.85 | 1.00 | 1.66 | 2.66 |
| | Mar | 48.83 | 46.5 | 1.41 | 2.3 | 0.91 | 0.9 | 0.50 | 0.00 | 0.50 | 1.00 | 2.16 | 3.16 |
| | Apr | 59.09 | 59.0 | 2.42 | 1.8 | 2.19 | 2.4 | 0.22 | 0.00 | 0.22 | 1.00 | 2.38 | 3.38 |
| | May | 64.67 | 66.8 | 1.58 | 1.0 | 3.38 | 4.0 | -1.80 | -1.00 | -0.19 | 0.00 | 2.19 | 2.19 |
| | Jun | 75.29 | 75.9 | 0.01 | 0.2 | 5.48 | 5.7 | -5.48 | 0.00 | -1.20 | 0.00 | 0.99 | 0.99 |
| 2003 | Jul | 83.21 | 80.0 | 0.00 | 0.0 | 7.41 | 6.7 | -7.41 | 0.00 | -0.74 | 0.00 | 0.26 | 0.26 |
| | Aug | 79.07 | 76.5 | 0.00 | 0.0 | 6.03 | 5.6 | -6.03 | 0.00 | -0.15 | 0.00 | 0.10 | 0.10 |
| | Sep | 70.52 | 68.0 | 0.00 | 0.1 | 3.84 | 3.6 | -3.84 | 0.00 | -0.04 | 0.00 | 0.06 | 0.06 |
| | Oct | 64.85 | 57.1 | 0.06 | 0.3 | 2.78 | 1.9 | -2.73 | 0.00 | -0.02 | 0.00 | 0.05 | 0.05 |
| | Nov | 47.84 | 49.1 | 1.85 | 0.5 | 0.74 | 0.9 | 1.11 | 1.00 | 0.11 | 1.00 | 0.15 | 1.15 |
| | Dec | 39.65 | 39.2 | 0.58 | 1.1 | 0.21 | 0.3 | 0.36 | 0.00 | 0.36 | 1.00 | 0.52 | 1.52 |

پارامترهای جدول شماره (۴) به شرح زیر است:

PE: تغییر و تعرّق پتانسیل اصلاح نشده بر حسب میلی متر که از روش تورنت وایت به شرح زیر محاسبه می شود:

$$(5) \quad PE_x = 16 \left(\frac{10t}{I} \right)^4$$

در این رابطه:

T: متوسط درجهی حرارت در ماه مورد نظر بر حسب سالی گراد

I: نمایهی حرارتی سالانه است که از رابطهی زیر قابل محاسبه است

$$(6) \quad I = \left(\frac{t_n}{5} \right)^{1.514}$$

t_n: متوسط ماهانهی درجهی حرارت بر حسب سالی گراد است

A: ضریبی است که به نمایهی حرارتی سالانه بستگی دارد و مقدار آن از رابطهی زیر محاسبه می شود

$$(V) \quad a = (675*10^9) I^3 - (771*10^7) I^2 + (179*10^4) I + 0.492$$

PE: تبخیر و تعرق اصلاح شده نیز از رابطه‌ی زیر قابل محاسبه است

$$(A) \quad PE = PE \times \left(\frac{DN}{360} \right)$$

در این رابطه:

D: متوسط تعداد ساعات بین طلوع و غروب در ماه مورد نظر

N: تعداد روزها در ماه مورد نظر

ΔS_s : تغییرات رطوبت خاک سطحی

ΔS_u : تغییرات رطوبت خاک زیرین

Ss: رطوبت قابل دسترسی در سطح خاک در انتهای ماه است که عبارت است از مقدار رطوبت خاک که با کسر نقطه‌ی پژمردگی از مقدار رطوبت موجود به دست می‌آید

(9) P.W.P - رطوبت خاک در پایان ماه

Su: رطوبت قابل دسترس در لایه‌ی زیرین خاک در انتهای ماه است که از رابطه‌ی زیر قابل محاسبه است

(10) P.W.P - رطوبت خاک در پایان ماه $S_{[30-50cm]} = [30-50cm]$

S: رطوبت اولیه‌ی خاک در ابتدای ماه است که این مقدار با استفاده از روش وزنی با نمونه برداری و یا شیوه‌های غیرمستقیم قابل اندازه گیری است.

در جدول (5) پس از ستون‌های مربوط به سال و ماه، پتانسیل تجدید رطوبت ماهانه¹ (PR) که مقدار اینچ رطوبت مورد نیاز برای رسیدن به ظرفیت زراعی خاک در ابتدای ماه است، محاسبه و میانگین گیری می‌شود. در ستون بعد ذخیره‌ی مجدد ماهانه‌ی رطوبت در خاک (R) که مقدار دریافتی خالص آب در لایه‌ی سطحی و زیرین خاک است، با استفاده از معادله‌ی یلان آب تعیین می‌شود. در ستون‌های بعدی جدول (5) پتانسیل

1. Pot. Recharge

کاهش آب ماهانه^۱ (PL) که مقدار آبی است که می‌تواند از خاک تبخیر شود و اتلاف رطوبت از لایه سطحی و زیرین خاک طی ماه مورد نظر^۲ (L) برآورده شود و به این ترتیب مقدار تبخیر - تعرق حقيقی ماهانه^۳ (ET) با استفاده از مقادیر بارندگی و تغیرات محتوی آب خاک در طول ماه قابل اندازه‌گیری است. همچنین با فرض این که مقادیر بارندگی بیشتر از حد طریقت زراعی خاک به رواناب^۴ (RO) تبدیل شود، مقادیر ماهانه رواناب برآورده شود. همچنین در جدول (۵) چهار پارامتر مهم برای محاسبه بارندگی برآورده نیز تعیین شده است. این پارامترها ($\alpha, \beta, \gamma, \delta$) به صورت ضرایب ثابت برای هر یک از ماههای سال با روابط ویژه تعیین می‌شود. میزان بارندگی فرضی (\hat{P}) برای هر ماه از رابطه زیر محاسبه می‌شود.

جدول (۵) محاسبات اتلاف و تجدید رطوبت خاک و تعیین ضرایب ثابت معادله پالمر

| YEAR | Month | PR | Avg PR | R | PL | Avg PL | L | ET | RO | α | β | γ | δ |
|------|-------|------|--------|------|------|--------|------|------|-----|----------|---------|----------|----------|
| | Jan | 5.23 | 4.8 | 1.04 | 0.14 | 0.1 | 0.00 | 0.14 | 0.0 | 1.60 | 0.28 | 0.0 | 0.07 |
| | Feb | 4.19 | 3.5 | 0.85 | 0.36 | 0.2 | 0.00 | 0.36 | 0.0 | 1.87 | 0.39 | 0.1 | 0.00 |
| | Mar | 3.34 | 2.1 | 0.50 | 0.91 | 0.5 | 0.00 | 0.91 | 0.0 | 1.71 | 0.38 | 0.2 | 0.09 |
| | Apr | 2.84 | 1.4 | 0.22 | 0.26 | 0.7 | 0.00 | 2.19 | 0.0 | 1.01 | 0.05 | 0.1 | 1.00 |
| | May | 2.62 | 2.0 | 0.00 | 0.74 | 1.0 | 1.19 | 2.77 | 0.0 | 0.57 | 0.00 | 0.0 | 1.15 |
| | Jun | 3.81 | 3.2 | 0.00 | 0.54 | 0.7 | 1.20 | 1.21 | 0.0 | 0.30 | 0.00 | 0.0 | 2.07 |
| 2003 | Jul | 5.01 | 4.7 | 0.00 | 0.19 | 0.3 | 0.74 | 0.74 | 0.0 | 0.13 | 0.00 | 0.0 | 2.92 |
| | Aug | 5.74 | 5.6 | 0.00 | 0.06 | 0.1 | 0.15 | 0.15 | 0.0 | 0.05 | 0.00 | 0.0 | 2.14 |
| | Sep | 5.90 | 5.8 | 0.00 | 0.02 | 0.0 | 0.04 | 0.04 | 0.0 | 0.05 | 0.00 | 0.0 | 1.49 |
| | Oct | 5.94 | 5.9 | 0.00 | 0.01 | 0.0 | 0.02 | 0.07 | 0.0 | 0.19 | 0.00 | 0.0 | 1.03 |
| | Nov | 5.95 | 5.9 | 1.11 | 0.74 | 0.0 | 0.00 | 0.74 | 0.0 | 0.43 | 0.02 | 0.0 | 0.32 |
| | Dec | 4.85 | 5.8 | 0.36 | 0.21 | 0.2 | 0.00 | 0.21 | 0.0 | 0.87 | 0.16 | 0.0 | 0.00 |

1. Pot. Moist. Loss
2. Moist. Loss
3. Evapotranspiration
3. Permanent wilting point
4. Runoff

پارامترهای جدول شماره (۵) به شرح زیر است:

PR: مقدار رطوبت مورد نیاز برای رسیدن به ظرفیت مزرعه در ابتدای ماه که بر حسب اینچ است و از طریق رابطه زیر قابل محاسبه است:

$$(11) \quad F.C = PR$$

R: افزایش رطوبت ماهانه که از رابطه زیر محاسبه می‌شود:

$$(12) \quad R = \text{متوسط رطوبت ابتدای ماه} - \text{متوسط رطوبت در انتهای ماه}$$

L: اتلاف رطوبت ماهیانه از لایه زیرین و سطحی خاک که از رابطه زیر محاسبه می‌شود

$$(13) \quad L = \text{متوسط رطوبت خاک در ابتدای ماه} - \text{متوسط رطوبت خاک در انتهای ماه}$$

PL: پتانسیل کاهش آب ماهانه، مقدار اینچ رطوبت مورد نیاز برای رسیدن به نقطه پژمردگی مزرعه در ابتدای ماه

ET: مقدار تبخیر - تعرق حقيقی است که از تأثیر ضریب K_C در مقدار تبخیر و تعرق پتانسیل بدست می‌آید، این ضریب معمولاً کمتر از یک و بین ۰/۲۵ - ۱/۱۵ می‌باشد.

$$(14) \quad PE \times K_c = \text{تبخیر و تعرق واقعی}$$

$$ET = \sum_{i=1}^{31} ET_i \quad \text{تبخیر و تعرق واقعی ماهیانه}$$

RO: رواناب ماهیانه است که از رابطه زیر محاسبه می‌شود

$$(15) \quad P - PR = RO_i$$

در این رابطه P بارندگی بر حسب اینچ، PR قبل از بارندگی بر حسب اینچ

$$(16) \quad RO = \sum_{i=1}^{31} RO_i$$

برای محاسبه این مقادیر $\delta, \gamma, \alpha, \beta$ از جدول شماره (۵) از رابطه کلی زیر استفاده می‌شود:

$$(17) \hat{P} = \alpha \cdot PE + \beta \cdot PR + \delta \cdot PRO - \delta \cdot PL$$

بارندگی فرضی مقدار بارشی است که لازم است در یک ماه بیارد تا میزان تبخیر - تعرق، رواناب و ذخیره‌ی رطوبت خاک با توجه به وضعیت رطوبت خاک در انتهای ماه قبل در حد نرمال اقلیم مورد نظر باقی

بماند. ضرایب به کار رفته در محاسبه (\hat{P}) به شکل زیر محاسبه می‌شوند:

α : ضریب تبخیر - تعرق که از معادله‌ی زیر به دست می‌آید:

$$(18) \alpha = \overline{ET}/\overline{PE}$$

که در آن \overline{ET} متوسط ماهانه‌ی تبخیر - تعرق حقیقی و \overline{PE} میانگین مقدار تبخیر - تعرق پتانسیل است. این ضریب در آب و هوای مرطوب نزدیک به (۱) است، اما در نواحی بسیار خشک به صفر نزدیک می‌شود.

β ، ضریب تجدید رطوبت با فرمول زیر به دست می‌آید

$$(19) \beta = \frac{\overline{R}}{\overline{PR}}$$

که در آن \overline{R} متوسط افزایش رطوبت ماهانه و \overline{PR} ، متوسط میزان پتانسیل افزایش رطوبت می‌باشد. δ ضریب کاهش رطوبت که از رابطه‌ی مقابل به دست می‌آید.

$$(20) \delta = \frac{\overline{L}}{\overline{PL}}$$

که در آن \overline{L} متوسط میزان کاهش رطوبت و \overline{PL} متوسط میزان پتانسیل کاهش رطوبت می‌باشد. که میزان پتانسیل رطوبت کاهش یافته مساوی میزان تبخیر - تعرقی است، که اگر هیچ بارندگی در طول ماه اتفاق نیافتداده بود، رخ می‌داد.

γ ، ضریب رواناب است و از رابطه‌ی زیر به دست می‌آید:

$$(21) \gamma = \frac{\overline{RO}}{\overline{S'}}$$

که در آن \overline{RO} ، متوسط رواناب و $\overline{S'}$ متوسط میزان رطوبت در اوّل ماه است:

جدول (۶) محاسبه‌ی بارندگی برآورده، انحراف رطوبت و شدت خشکسالی پالمر

| YEAR | Month | \hat{ET} | \hat{R} | \hat{RO} | \hat{L} | \hat{P} | d | ABS(d) | \bar{K}_i | $D_i * \bar{K}_i$ | K_i | Z | XI |
|------|-------|------------|-----------|------------|-----------|-----------|-------|--------|-------------|-------------------|-------|-------|-------|
| | Jan | 0.23 | 1.45 | 0.02 | 0.01 | 1.69 | -0.51 | 0.51 | 1.46 | 1.05 | 1.45 | -0.73 | -2.48 |
| | Feb | 0.67 | 1.63 | 0.12 | 0.00 | 2.41 | -1.20 | 1.20 | 1.25 | 0.90 | 1.25 | -1.50 | -2.73 |
| | Mar | 1.55 | 1.26 | 0.44 | 0.08 | 3.16 | -1.75 | 1.75 | 1.17 | 0.84 | 1.16 | -2.03 | -3.13 |
| | Apr | 2.22 | 0.13 | 0.17 | 0.26 | 2.26 | 0.15 | 0.15 | 1.37 | 0.99 | 1.36 | 0.21 | -2.73 |
| | May | 1.92 | 0.00 | 0.03 | 0.85 | 1.10 | 0.48 | 0.48 | 1.40 | 1.01 | 1.39 | 0.67 | -2.23 |
| | Jun | 1.65 | 0.00 | 0.00 | 1.12 | 0.53 | -0.52 | 0.52 | 1.79 | 1.29 | 1.78 | -0.93 | -2.31 |
| 2003 | Jul | 0.98 | 0.00 | 0.00 | 0.56 | 0.42 | -0.42 | 0.42 | 2.52 | 1.82 | 2.50 | -1.06 | -2.42 |
| | Aug | 0.30 | 0.00 | 0.00 | 0.13 | 0.17 | -0.17 | 0.17 | 3.71 | 2.68 | 3.69 | -0.63 | -2.38 |
| | Sep | 0.19 | 0.00 | 0.00 | 0.04 | 0.15 | -0.15 | 0.15 | 3.75 | 2.70 | 3.73 | -0.57 | -2.33 |
| | Oct | 0.52 | 0.01 | 0.00 | 0.01 | 0.52 | -0.46 | 0.46 | 2.51 | 1.81 | 2.49 | -1.16 | -2.47 |
| | Nov | 0.32 | 0.14 | 0.00 | 0.24 | 0.22 | 1.63 | 1.63 | 2.04 | 1.47 | 2.03 | 3.30 | -1.12 |
| | Dec | 0.19 | 0.77 | 0.00 | 0.00 | 0.96 | -0.38 | 0.38 | 1.71 | 1.23 | 1.70 | -0.64 | -1.22 |

در جدول ۶، مقادیر \hat{ET} ، \hat{R} ، \hat{RO} و \hat{L} با استفاده از روابط زیر محاسبه می‌شوند:

$$\hat{ET} = \alpha \times PE$$

- تغییر - تعریق برآورده ماهانه

$$\hat{R} = \beta \times PR$$

- تجدید رطوبت خاک برآورده ماهانه

$$\hat{RO} = \gamma \times S'$$

- رواناب برآورده ماهانه

$$\hat{L} = \delta \times PL$$

- اتلاف رطوبت خاک برآورده ماهانه

سپس با محاسبه‌ی ضرایب α ، β ، γ ، δ ، \bar{S}' ، PR ، PE و در نتیجه \hat{P} محاسبه می‌شود:

در ستون بعدی جدول (۶) مقادیر d که میزان انحراف بارندگی برآورده از بارندگی واقعی است، از

رابطه‌ی مقابل به دست می‌آید

$$(۲۲) d = P - \hat{P}$$

و سپس میانگین Di برای ماههای سال از رابطه‌ی زیر محاسبه می‌شود:

$$(23) \quad \overline{D}_i = \frac{\sum |d_i|}{\text{all years} \atop \# \text{ of years in record}}$$

برای محاسبه‌ی عامل توزینی K منطقه، لازم است ابتداً K با رابطه‌ی زیر برای هر ماه معین شود

$$(24) \quad K_i = \frac{17.67}{\sum_{j=1}^{12} \overline{D}_j K_j^i} K_j^i$$

$$(25) \quad K_i^i = 1.5 \cdot \log_{10} \left[\frac{\overline{PET}_i + \overline{R}_i + \overline{RO}_i}{\overline{P}_i + \overline{L}_i} + 2.5 \right] + 0.5$$

با محاسبه‌ی d و K تعیین شاخص انحراف رطوبت ماهانه‌ی پالمر (Z) با ضرب مقدار انحراف بارش (d) در عامل توزینی (K) در یک ماه معین امکان پذیر می‌شود ($Z = Kd$). عدد ثابت K ، یک عامل توزینی است که از طریق تجربی به دست آمده و بستگی به تعداد اندازه‌گیری‌های رطوبت موجود و رطوبت مورد نیاز در اقیم مورد نظر دارد. کاهش بارندگی از مقدار نرمال باعث کاهش مقدار Z و افزایش بارندگی باعث افزایش مقدار Z می‌شود و شاخص شدّت خشکسالی (X_{3i}) به اعداد متوالی Z بستگی دارد و X_{3i} که برای محاسبه‌ی شاخص شدّت خشکسالی پالمر در زمان وقوع خشکسالی است، با رابطه‌ی زیر محاسبه می‌شود

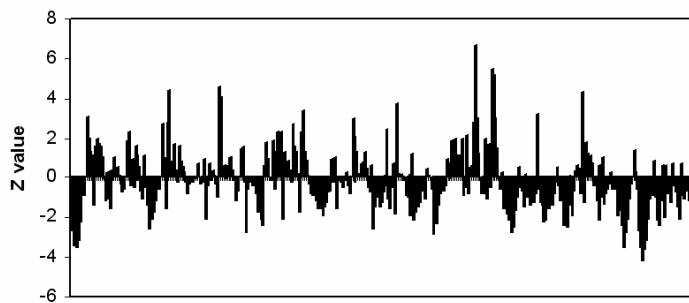
$$(26) \quad X_{3i} = 0.897 X_{3i-1} + \left(\frac{1}{3} \right) Z_i$$

در جدول (۶) مقادیر محاسبه شده پارامترهای بالا برای یک دوره‌ی آماری ۳۳ ساله‌ی مشهد، نشان داده شده است.

۴. بحث و نتیجه‌گیری

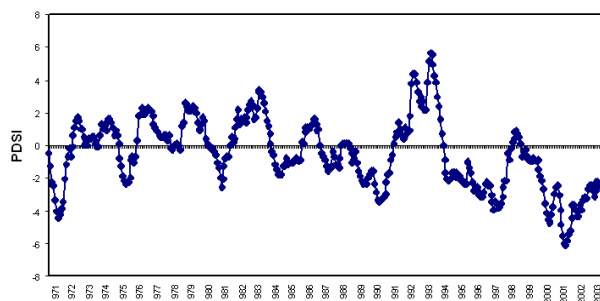
با اجرای برنامه‌ی محاسبه‌ی شاخص شدّت خشکسالی پالمر برای دوره‌ی آماری ۲۰۰۳-۱۹۷۱ میلادی مشهد، نمودار ماهانه‌ی شاخص انحراف رطوبت (Z) ترسیم گردیده که در شکل (۲) نشان داده شده است. این شکل نشان می‌دهد که درجه‌ی انحراف رطوبت در مشهد بسیار زیاد است و دارای نظم خاصی نیست و

برنامه‌ریزی برای بهره‌برداری طولانی مدت محتوی آب خاک، مانند کشت دیم، با ریسک زیادی همراه خواهد بود.



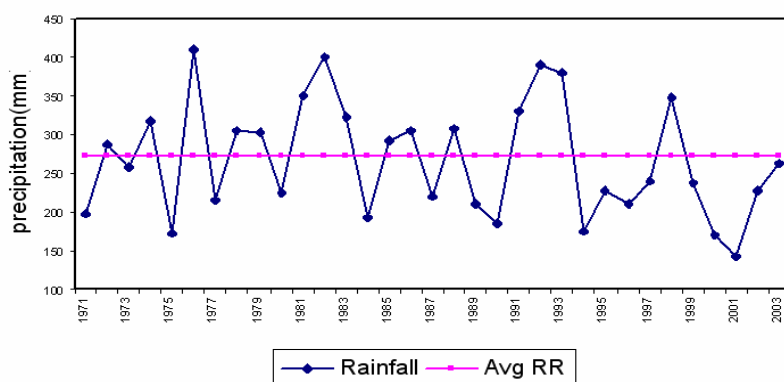
شکل (۲) نمودار انحراف رطوبت ماهانه طی دوره‌ی آماری ۱۹۷۱-۲۰۰۳

در شکل (۳) مقادیر ماهانه‌ی شاخص شدت خشکسالی پالمر (PDSI) برای دوره‌ی آماری بالا در مشهد محاسبه و نشان داده شده است. وجود دوره‌های کوتاه‌مدت و بلند‌مدت خشکسالی در مشهد، طی این دوره، حاکی از اهمیت و ضرورت لحاظ نمودن این پدیده در مدیریت توسعه و بخصوص مدیریت کشاورزی منطقه دارد. شدیدترین خشکسالی به وقوع پیوسته این دوره در سال ۲۰۰۱ میلادی و مطابق سال ۱۳۸۰ شمسی با مقدار (-۶) و در درجه‌ی "بسیار زیاد خشک" بوده و شدیدترین ترسالی در سال ۱۹۹۳ میلادی با مقدار (5) و درجه‌ی "بسیار مريطوب" بوده است در سال اخیر (۸) نوبت خشکسالی حادث شده، که کوتاه‌ترین آن دوازده ماه و طولانی‌ترین آنها شصت ماه داشته است. در پایان سال ۲۰۰۳ میلادی، که معادل آذر و دی ۱۳۸۲ است، مقدار PDSI برابر با (-۱/۲) که با عبارت کمی خشک تعریف می‌شود و برای رسیدن به شرایط نرمال وقوع بارندگی بیش از میانگین در چند ماه پی در بی لازم است.



شکل (۳) محاسبه‌ی شاخص شدت خشکسالی پالمر طی دوره‌ی آماری ۱۹۷۱-۲۰۰۳

برای مقایسه‌ی بهتر و اعتماد به محاسبات انجام شده، انحراف بارش از میانگین در نمودار (۴) نشان داده شده، با مقایسه‌ی شکل‌های (۳) و (۴) تأثیر کاهش بارندگی در شدت و مدت وقوع خشکسالی مشاهده می‌شود. به طور مشابه، می‌توان تمامی مراحل محاسباتی را برای دیگر نقاط استان خراسان تکرار نمود. برای این کار کافی است داده‌های ورودی با اطلاعات جدید تعریض شود، البته نبود اطلاعات دقیق مربوط به ظرفیت زراعی و نقطه‌ی پژمردگی در خاک‌های مناطق مختلف ایران، از جمله کمیودهای کاربرد این الگو است.



شکل (۴) بارندگی سالانه و انحراف از میانگین در دوره‌ی آماری ۱۹۷۱-۲۰۰۳

از آن جاکه در محاسبه‌ی شاخص شدّت خشکسالی پالمر از روابط تبخیر- تعرّق و معادله‌ی بیلان آب تورنت وايت استفاده می‌شود و با توجه به این که در مناطقی مشابه با اقلیم مشهد محاسبه انجام شده به وسیله‌ی این روش دارای دقّت مطلوب نیست و مقادیر تبخیر- تعرّق در مقایسه با دیگر روش‌ها کمتر برآورد می‌شود، لذا لازم است برای محاسبه‌ی بیلان آبی از روش‌های دیگری، مانند هارگریوز، استفاده شود. البته ذکر این نکه ضروری است که چنانچه از الگوی پالمر تنها به منظور پایش خشکسالی استفاده شود، نوع روابط محاسبه‌ی تبخیر- تعرّق در خروجی نهایی چندان مؤثّر نخواهد بود، زیرا در الگوی پالمر انحرافات رطوبت و محتوی آب خاک از نرمال‌های محلی، مبنای محاسبه قرار می‌گیرد. به منظور دقّت ییشترا در محاسبات شاخص شدّت خشکسالی پالمر، دو یارامترا WPLM و Pe نیز محاسبه می‌شود. احتمال یایان دوره‌ی جاری^۱ و

1. Probability of the current spell ending

شاخص شدّت خشکسالی پالمر وزنی^۱ است که محاسبه‌ی این پارامترها در برنامه‌ی آتی مطالعات خشکسالی می‌باشد.

منابع و مأخذ:

۱. آسیایی، مهدی و همکاران(۱۳۸۴)، مایریت ریسک خشکسالی(شناخت و راهکارهای)، چاپ اول، انتشارات، سخن گستر، مشهد.
۲. _____ (۱۳۸۴) بررسی اثرات اقتصادی بایه خشکسالی در شهرستانهای استان خراسان، سازمان هواشناسی کشور، پژوهشکده‌ی اقلیم شناسی.
۳. _____ (۱۳۸۵) شاخص‌های خشکسالی. چاپ اول، انتشارات سخن گستر، مشهد.
۴. _____ (۱۳۸۳) فرهنگ اصطلاحات هواشناسی و اقلیم شناسی، چاپ اول، انتشارات سخن گستر، مشهد.
۵. جوانمرد، سهیلا، (۱۳۸۰)، بررسی شاخص‌های خشکسالی و استانداردنمودن آن برای مناطق مختلف کشور، گزارش نهایی طرح ملی توتک، سازمان هواشناسی کشور، پژوهشکده‌ی اقلیم شناسی.
6. Guttman, N. B.(1991), *A Sensitivity Analysis of the palmer Hydrologic Drought Index*, Water Resources Bulletin 27:767-807.
7. Kogan, F. N. (1995).*Droughts of the Late 1980's in the United Data*, Bulletin of the American Meteorological Society, 76: 655-68.
8. Miller, D. E, & C. R., Hays,(1994). *Missouri Drought Response Plan*. Water Resource Report, No. 44.
9. Palmer, W. C,(1965).*Meteorological Drought* Research paper, No. 45, U. S. weather Bureau. Washington, D. C. Feb., 58p.
10. Thornthwaite,(1955). C. W. & J. R. Mather, *The water budget and its use in irrigation*, Water-rear book of Agriculture 1955, Washington, DC: US Dept. of Agriculture, PP. 346-58.
11. Wilhite, D. A. (2000), *Drought a Global Assessment*, Vol. I.

1. The Weighted PDSI